

(1)

# Modèle de réaction-diffusion en écologie des populations

I) Modèle local c'est à dire en un lieu de l'espace.

① l'information est :

si  $v_1 = 5$  et  $v_2 = 0$  alors

$$\frac{dv_1}{dt} = 5 \quad \text{et} \quad \frac{dv_2}{dt} = 1$$

si  $v_1 = 0$  et  $v_2 = 1$  alors

$$\frac{dv_1}{dt} = -10 \quad \text{et} \quad \frac{dv_2}{dt} = -\mu$$

avec le modèle:  $v = (v_1, v_2)$ ,

$$\begin{cases} \frac{dv_1}{dt} = a_{11} v_1 + a_{12} v_2 \\ \frac{dv_2}{dt} = a_{21} v_1 + a_{22} v_2 \end{cases}$$

on déduit:  $\begin{cases} a_{11} = 1, & a_{12} = -10 \\ a_{21} = \frac{1}{5}, & a_{22} = -\mu \end{cases}$

② On a vu en cours que si  $\frac{dv}{dt} = Av$

alors

on a stabilité c ad  $v(t) \xrightarrow[t \rightarrow +\infty]{} 0$

$\Leftrightarrow$  valeurs propres de  $A$  sont  $\tau_+, \tau_-$  avec  
 $\operatorname{Re}(\tau_+) < 0$  et  $\operatorname{Re}(\tau_-) < 0$

$\Leftrightarrow \operatorname{Tr}(A) < 0$  et  $\det(A) > 0$ .

or  $\operatorname{Tr}(A) = a_{11} + a_{22} = 1 - \mu$

$\det(A) = a_{11}a_{22} - a_{21}a_{12} = -\mu + 2$

donc

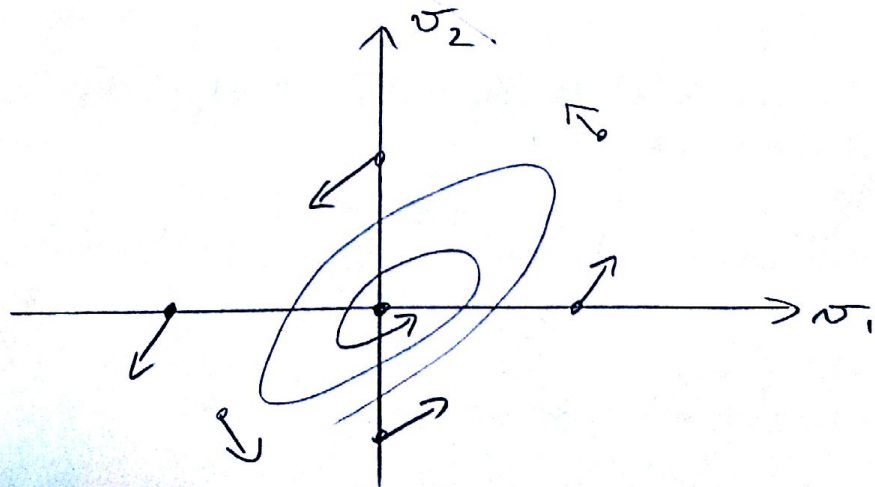
stabilité  $\Leftrightarrow 1 - \mu < 0$  et  $-\mu + 2 > 0$

$\Leftrightarrow$

$$1 < \mu < 2$$

③ Dans le modèle linéaire précédent  $\frac{dv}{dt} = Av = F(v)$

on interprète  $F(v) = Av$  comme un champ de vecteurs "linéaire" dont voici l'allure :

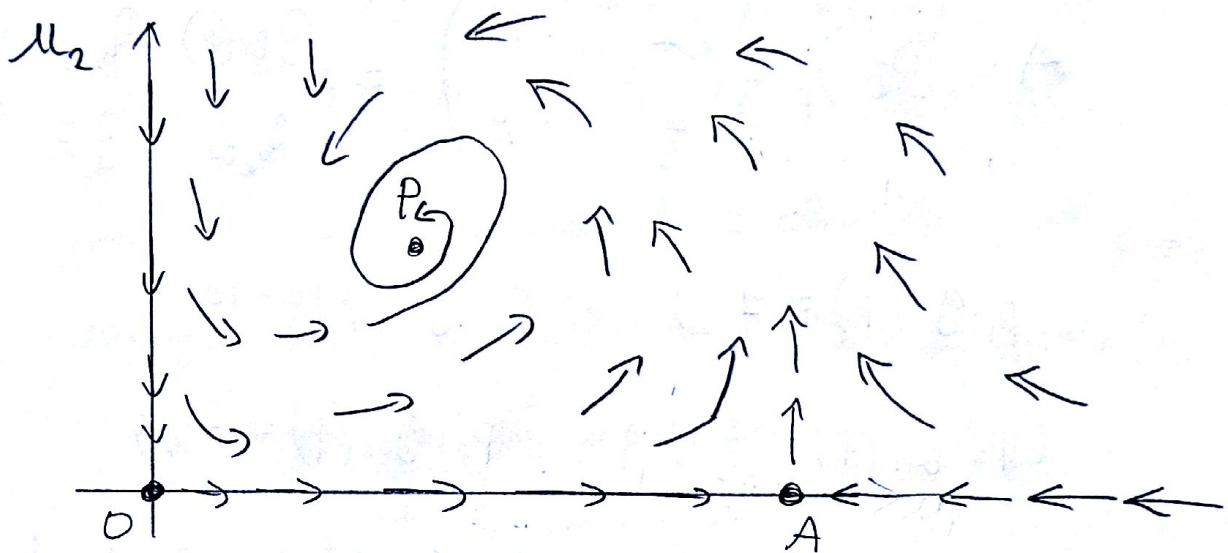


(1)

- ce champ de vecteur n'est pas réaliste si  $|v|$  est grand

Voici un champ de vecteur "réaliste" dans le

plan  $(u_1, u_2)$  avec  $u_1 \geq 0, u_2 \geq 0$ :



il y a 3 points fixes:  $O$   
P

et A qui correspond à une population constituée uniquement de sorciers.

équation:  $\frac{du}{dt} = f(u) \Leftrightarrow \begin{cases} \frac{du_1}{dt} = f_1(u_1, u_2) \\ \frac{du_2}{dt} = f_2(u_1, u_2) \end{cases}$

noter que  $\begin{cases} \text{si } u_1=0 \text{ alors } f_1=0 \\ \text{si } u_2=0 \text{ alors } f_2=0 \end{cases}$

Car comme  $f(0)=0, f(P)=0, f(A)=0,$

il est naturel de proposer la formule:

$$\begin{cases} f_1(u_1, u_2) = u_1 \cdot (g_{11}(u) \cdot (u_1 - p_1) + g_{12}(u) \cdot (u_2 - p_2)) \\ f_2(u_1, u_2) = u_2 \cdot (g_{21}(u) \cdot (u_1 - p_1) + g_{22}(u) \cdot (u_2 - p_2)) \end{cases}$$

avec des fonctions  $g_{ijk}(u_1, u_2)$  que l'on peut construire d'après la contrainte :

$$A = (Df)_P = \begin{pmatrix} 1 & -10 \\ \frac{1}{5} & -\mu \end{pmatrix} = \begin{pmatrix} \partial_{u_1} f_1(P) & \partial_{u_2} f_1 \\ \partial_{u_1} f_2 & \partial_{u_2} f_2 \end{pmatrix}$$

$\Leftrightarrow$

$$\begin{cases} p_1 \cdot g_{11}(P) = 1 ; & p_1 \cdot g_{12}(P) = -10 \\ p_2 \cdot g_{21}(P) = \frac{1}{5} ; & p_2 \cdot g_{22}(P) = -\mu \end{cases}$$

et de même pour le point O et le point A.

## D) Diffusion en espace

(2)

### ① L'équation

$$\frac{d v_k}{dt}(x_j) = d_k \left( v_k(x_{j+1}) - v_k(x_j) \right) + d_k \left( v_k(x_{j-1}) - v_k(x_j) \right)$$

pour  $k=1$  (souris) ou  $k=2$  chouettes, et  $d_k > 0$ , signifie que une différence  $v_k(x_{j+1}) > v_k(x_j)$  va augmenter la population  $v_k(x_j)$  et de même si  $v_k(x_{j-1}) > v_k(x_j)$  (et inversement diminuer si  $v_k(x_{j+1}) < v_k(x_j)$ ).

De proche en proche, une forte valeur en  $x_j$  va diffuser sur les sites voisins.

$d_1=1 < d_2=50$  signifie que la population de chouettes diffuse plus vite, car ils se déplacent plus vite.

## ② Limite des continus

on suppose  $x_{j+1} - x_j = \delta$  : pas spatial,

et  $\bar{v}_k(x_j)$  "varie peu" en fonction de  $x_j$ :

$$\text{Ainsi : } \bar{v}_k(x_{j+1}) = \bar{v}_k(x_j + \delta)$$

$$= \bar{v}_k(x_j) + \delta \partial_x \bar{v}_k + \frac{1}{2} \delta^2 (\partial_x^2 \bar{v}_k) \\ (\text{Taylor}) + O(\delta^3)$$

$$\bar{v}_k(x_{j-1}) = \bar{v}_k(x_j - \delta)$$

$$= \bar{v}_k(x_j) - \delta (\partial_x \bar{v}_k) + \frac{1}{2} \delta^2 (\partial_x^2 \bar{v}_k) \\ + O(\delta^3)$$

donc

$$\begin{aligned} \frac{\partial \bar{v}_k(x_j, t)}{\partial t} &= d_k (\bar{v}_k(x_{j+1}) - \bar{v}_k(x_j)) + d_k (\bar{v}_k(x_{j-1}) - \bar{v}_k(x_j)) \\ &= d_k \cdot \delta^2 (\partial_x^2 \bar{v}_k)(x_j) + O(\delta^3) \\ &= D_k \cdot (\partial_x^2 \bar{v}_k)(x_j) + O(\delta^3) \end{aligned}$$

$$\boxed{\frac{d\bar{v}}{dt} = D \partial_x^2 \bar{v}}, \quad D = (D_1, D_2), \quad D_k = d_k \delta^2 : \text{"coeff. de diffusion".}$$

c'est "l'équation de la chaleur", une EDP linéaire à coef. constants, que l'on résoud par la transf.

de Fourier en  $x$ :

$$\bar{v}_k(x, t) := \left( \frac{1}{\sqrt{2\pi}} \right) \int_{-\infty}^{\infty} e^{i \xi x} \tilde{\bar{v}}_k(\xi, t) d\xi$$

(3)

qui donne :

$$\frac{\partial \tilde{v}_k(\xi, t)}{\partial t} = -D_k \xi^2 \tilde{v}_k(\xi, t)$$

$$\Rightarrow \tilde{v}_k(\xi, t) = \tilde{v}_k(\xi, 0) e^{-D_k \xi^2 t}$$

$$\xrightarrow[t \rightarrow \infty]{} 0 : \text{si } \xi \neq 0$$

ainsi tous les modes de Fourier s'atténue sauf

celui  $\xi = 0$ :

$$\begin{aligned} v_k(x, t) &= \frac{1}{\sqrt{2\pi}} \int_{\mathbb{R}} e^{i\xi x} e^{-D_k \xi^2 t} \tilde{v}_k(\xi, 0) d\xi \\ &= \frac{1}{2\pi} \iint e^{i\xi x} e^{-D_k \xi^2 t} e^{-i\eta y} v_k(y, 0) dy d\xi \end{aligned}$$

or on a l'intégrale Gaussienne:

$$\int e^{i\xi(x-y)} e^{-D_k \xi^2 t} d\xi = \sqrt{\frac{\pi}{D_k t}} e^{-\frac{(y-x)^2}{4D_k t}}$$

$$\text{car } \int_{\mathbb{R}} e^{-Ax^2 + Bx} dx = \sqrt{\frac{\pi}{A}} e^{\frac{B^2}{4A}}$$

$$\text{ici } A = D_k t, \quad B = i(y-x), \quad \frac{B^2}{4A} = -\frac{(y-x)^2}{4D_k t}$$

donc

$$v_k(x, t) = \frac{1}{2\pi} \sqrt{\frac{\pi}{D_k t}} \int_{\mathbb{R}} e^{-\frac{(y-x)^2}{4D_k t}} v_k(y, 0) dy$$

c'est à dire convolution de  $v_k(y, 0)$  par une Gauinienne de largeur  $\sim \sqrt{D_k t}$

Cela signifie que la population se moyennise spatialement, s'uniformise,

$$\text{cinsi } \phi_t(y) := \frac{1}{2\pi} \sqrt{\frac{\pi}{D_k t}} e^{-\frac{y^2}{4D_k t}}$$

ora  $v_k(t) = (\phi_t * v_0)$   
produit de convolution

et  $\int \phi_t(y) dy = \frac{1}{2\pi} \sqrt{\frac{\pi}{D_k t}} \int e^{-\frac{y^2}{4D_k t}} dy$

$$= \frac{1}{2\pi} \sqrt{\frac{\pi}{D_k t}} \sqrt{\pi^2 / 4D_k t}$$

$$= 1.$$

### III Réaction locale et Diffusion

$$\frac{du}{dt} = f(u) + D \partial_x^2 u$$

avec  $u = p + v$ ,  $p \in \mathbb{R}^2$ : point fixe,

donc  $\frac{dv}{dt} = f(p+v) + D \partial_x^2 v$

Comme en cours, on suppose  $|v| \ll 1$ ,

donc  $f(p+v) = f(p) + \begin{matrix} \text{O} \\ \parallel \\ \text{O} \end{matrix} + (Df)_p \cdot v + \begin{matrix} \text{O} \\ \parallel \\ \text{A} \end{matrix} v^2$   
 $= A v$

Donc l'EDP linéaire :

$$\frac{dv}{dt} = A v + D \partial_x^2 v$$

On a  $\text{Tr } A < 0$  et  $\det A > 0$  : stabilité des modes  $\xi = 0$ ,

et on applique le théorème de Tricomi (voir cours)

qui dit que il y a des modes instables si :

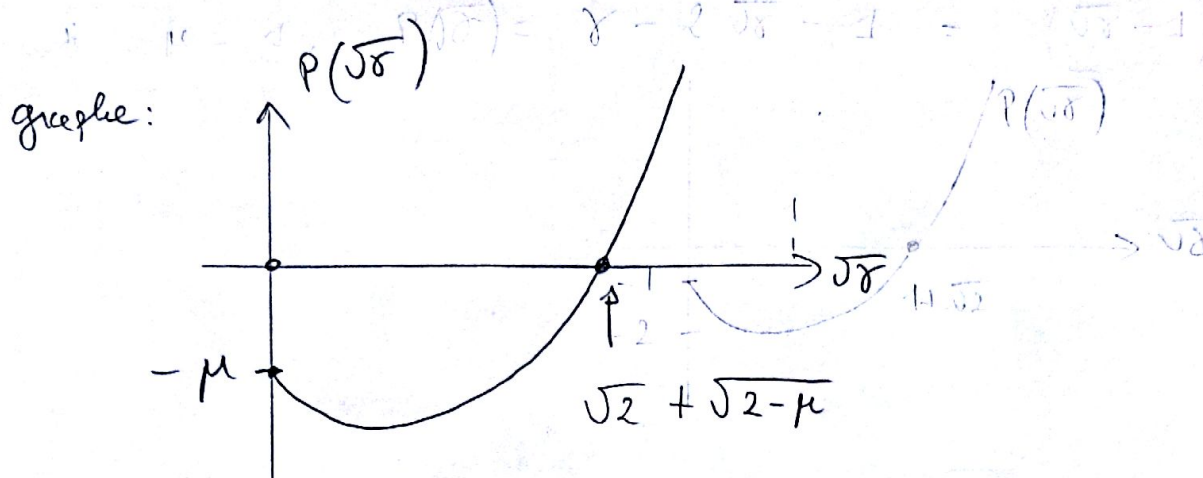
$$\gamma a_{11} + a_{22} - 2 \sqrt{\gamma} \sqrt{\det A} > 0$$

avec  $\gamma := \frac{D_2}{D_1} > 0$

$$P(\sqrt{\gamma}) := \gamma - \mu - 2 \sqrt{\gamma} \sqrt{2-\mu} > 0$$

: polynôme du second degré

• rappel:  $1 < \mu < 2$  et  $\gamma > 0$ ,



donc  $P(\sqrt{8}) > 0 \iff \boxed{\gamma > \sqrt{2} + \sqrt{2-\mu}}$

: condition d'instabilité.

$$\text{avec } \gamma = \frac{D_2}{D_1} = \frac{d_2}{d_1}.$$

La condition est vérifiée si  $\frac{d_2}{d_1} = 50 = \gamma$ .

② La longueur d'onde au seuil d'instabilité

est

$$\lambda_c = \frac{2\pi}{\xi_c} = 8 \cdot 2\pi \left( \frac{d_1 d_2}{2-\mu} \right)^{1/4}$$

$$\text{avec } \xi_c = \left( \frac{\det A}{D_1 D_2} \right)^{1/4} = \left( \frac{2-\mu}{d_1 d_2 8^4} \right)^{1/4} = \left( \frac{2-\mu}{d_1 d_2} \right)^{1/4} \cdot \frac{1}{8}$$

Application numérique:  $2-\mu = 0.5$ ,

$$d_1 = 1, \quad d_2 = 50,$$

donne:

$$\lambda_c \approx 20 \cdot 8 \approx 2 \text{ km.}$$